

射波の揚圧力と引き波時の吸出し作用によつて崩壊する
ことが認められた。そしてその形態は、本ブロックの場合、
2個の下層ブロックで上層1個を支える2層積みであるため、
上層ブロックの移動のために下層が移動する場合との逆の場合の2通りに大別された。前者は、入射時の衝撃波力によることが多く、
後者は、揚圧力や吸出し作用によつて主に失ずることが認められた。

(2) 入射波高と被害率の関係 本実験における被害率は、各波高に対する移動ブロック数をブロック全体の個数で除してパーセントで表わしたものとした。

図-2は、入射波高と被害率の関係を示すもの。図中の曲線は、各ブロックに対する限界曲線を示すものである。また本実験条件とほぼ等しい条件と思われる沼田の実験結果¹⁾、テトラポット、六脚ブロック、トリバーについて同時に示す。図から波高が大きくなると被害率も大きくなつてゐるが、図-2ブロックでも積み方により若干、その曲率が異なることがわかる。またこの曲率は、各ブロックの安定性を意味し、曲率の大きなものほど不安定となることを示している。その傾向は、被害率が5%程度の時明らかに表われてゐることがわかつり、そしてこの5%程度は、ブロック自体の被害と少くよりも堤体全体の破壊に相当するものと考えられる。そこで、その時の波高を堤体の破壊限界波高と定めることができる。

Hudsonは、ブロックの重量算定式を次のように示した。

$$W = \gamma_r H^3 / K_0 (S_r - 1)^3 \cot \alpha \quad \dots (1)$$

ここで両辺を無次元とすると、

$$W / \gamma_r H^3 = 1 / K_0 (S_r - 1)^3 \cot \alpha \quad \dots (2)$$

となり、右辺は、本実験の場合定数となることから、左辺とこの式に含まれない入射波周期の関係を図-3に示す。本図は、C型乱積みの場合を示すが他のブロックにおいてもほぼ同様の傾向が見られた。図によつて H/L が大きい波は、 $W / \gamma_r H^3$ が小さくなり、また、

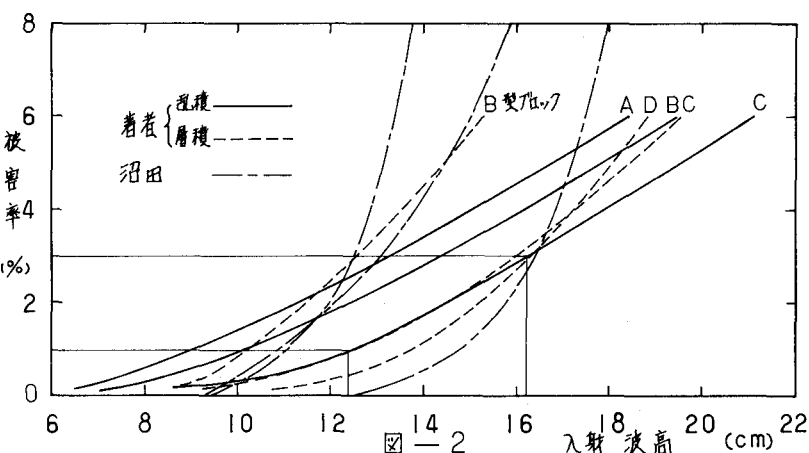
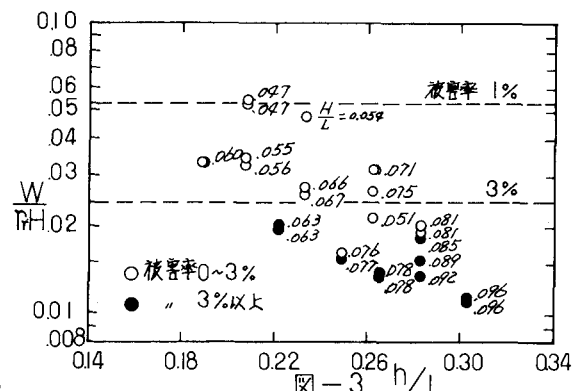


図-2 入射波高 (cm) と被害率 (%) の関係

H/L が小さくなると、 $W / \gamma_r H^3$ が大きくなる傾向を示してゐる。波の特性が移動限界を変化させることを表してゐる。図中の破線は、図-2から得られた被害率1%と3%時の波高を(2)式に代入して求められる値で移動限界値と考えられるが実験値はかなり広い範囲にバラツいてゐることがわかる。

4. あとがき

以上、異型ブロックに関して、その崩壊、ブロック個々や堤体全体の安定性について考察し、一応の定性的な特性を把握することができたが、それらは、数多くの要素が複因し、このようほ堤体によって被害率の定義が不十分であるため、より多くの模型実験や現地観測からより厳密な移動限界について今後検討していくと考えてゐる。



参考文献

- 沼田 厚：消波工の波浪制御特性に関する研究、学位論文、1979。
- 三浦晃、遠藤茂勝：消波ブロックの K_0 値に関する実験的考察、日本大學生産工学部報告、Vol.8, 1975。